

طراحی بخش جلویی گیرنده پهن باند کم توان با استفاده از

فیلترهای فعال و غیر فعال چندمسیره

جلیل مظلوم*

استادیار، دانشکده مهندسی برق دانشگاه علوم و فنون هوایی شهید ستاری

(دریافت: ۹۶/۰۹/۲۷، پذیرش: ۹۶/۱۱/۲۰)

چکیده

کنترل، نظارت، شناسایی و سیستم‌های اطلاعاتی در پدافند نوین نیازمند سامانه‌های رادیویی کم‌مصرف با پوشش‌دهی استانداردهای مخابراتی متفاوت است. در این مقاله با به‌کارگیری روش نوین مخلوط‌کننده‌های فعال و غیرفعال چندمسیره، بخش جلویی یک گیرنده بسیار کم‌توان با قابلیت تنظیم شدن در طیف وسیع فرکانسی و با قابلیت استفاده در استانداردهای مخابراتی متنوع ارائه شده است. در این پژوهش ضمن تحلیل روش فیلترهای چندمسیره مرسوم و پیشرفته، بررسی جزئی گیرنده‌های مشابه پیشین نیز صورت گرفته است. با اعمال یک سری اصلاحات در طراحی و پیاده‌سازی، عدد نویز گیرنده بهبود یافته است و پایداری ساختاری مدار گیرنده تضمین شده است. برای اثبات درستی عملکرد گیرنده پیشنهادی از نرم‌افزار قدرتمند طراحی مدارات مجتمع Cadence استفاده شده است و بخش جلویی گیرنده تا تنها یک قدم قبل از ساخت کامل، شبیه‌سازی شده است. بر مبنای نتایج شبیه‌سازی با استفاده از ترانزیستورهای فناوری CMOS 90nm-TSMC، توان مصرفی به میزان قابل توجهی به نسبت ساختار مشابه کاهش یافته است و عدد نویز و S11، در تمام گستره فرکانسی ۱/۸۵ گیگاهرتز، به ترتیب کمتر از ۳/۶ دسی‌بل و ۱۰- دسی‌بل به دست آمده است. توان مصرفی بدون احتساب ساعت اعمالی کمتر از ۱۵ میلی‌وات است و IIP3 خارج بانندی به میزان ۸ دسی‌بل میلی‌وات به دست آمده است.

کلیدواژه‌ها: مخلوط‌کننده Nمسیره فعال، مخلوط‌کننده Nمسیره غیرفعال، بخش جلویی گیرنده، فیلتر چندمسیره

A Low-power Wideband Receiver Front-end Employing Active and Passive N-path Filters

J. Mazloun

Shahid Sattari Aeronautical University
(Received: 18/12/2017; Accepted: 09/02/2018)

Abstract

Control, inspection, detection, and transmitting or receiving data in modern defence principles, essentially requires the low-power radio frequency systems with the ability of operating at various communication standards. In this paper, employing the modern method of active and passive N-path filters, a receiver front-end with the ability of tunability at various standards and frequencies is proposed. In addition to the analysis of conventional and advanced N-path filters, the prior similar structures are discussed in details. Applying some modifications in the previous structure, not only the NF has been improved but also the power consumption has been considerably decreased, while the stability has been guaranteed. To verify the correctness of the proposed receiver front-end, the cadence IC design tool has been used to simulate the system. According to the simulation results, using CMOS90nm transistors, the amount of power consumption has been remarkably decreased with respect to the previous similar structures. The NF and S11 values in the whole of frequency range, DC to 1.85GHz, are less than 3.6dB and -10dB, respectively. The power consumption is less than 15mW including the power consumption of the recombiners. The out of band IIP3 is +8dBm.

Keywords: Blind Identification, Space-Time Codes, Correlation Matrix, Decision Tree

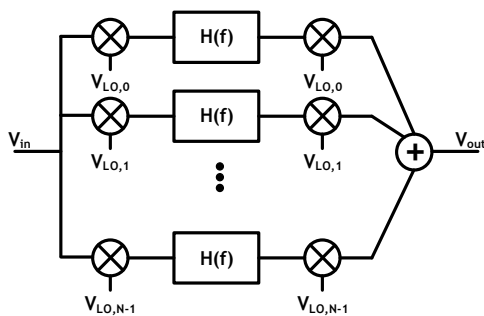
۱. مقدمه

عدد نویز در این فیلترها به طور معکوس با مقدار N نسبت دارد. این بدان معناست که با افزایش N می توان میزان نویز را کاهش داد و در نتیجه تلفات الحاقی در حد قابل قبولی است. همچنین از آن جا که در این ساختارها به طور معمول از خازن و کلید استفاده می شود، فیلتر حاصل دارای خطسانی بالا و در پی آن IIP_3 کاملاً مطلوب است و در گستره فرکانسی وسیعی قابل تنظیم هستند [۲، ۳ و ۸]. فیلترهای میان گذر N مسیره توسط مخلوط کننده های فعال نیز قابل پیاده سازی هستند [۷].

در بخش دوم این مقاله ساختار کلی فیلترهای میان گذر N مسیره مورد مطالعه قرار خواهد گرفت. بخش سوم، یک گیرنده پهن باند پیاده سازی شده با فیلترهای فعال و غیرفعال چندمسیره، ارائه شده در [۷]، مورد نقد و بررسی قرار خواهد گرفت و معایب آن برشمرده خواهد شد. در بخش چهارم علاوه بر رفع اشکالات ساختار قبلی، گیرنده پهن باند پیشنهادی ارائه می گردد. در بخش پنجم نتایج پیاده سازی مدارای گیرنده پهن باند ارائه می شود و همچنین معیارهای سنجش گیرنده ارائه خواهند شد. بخش ششم نتیجه گیری را عنوان می کند.

۲. فیلترهای میان گذر N مسیره مرسوم

شکل (۱)، مدار یک فیلتر N مسیره مرسوم را نشان می دهد [۱۶ و ۱۷]. هر یک از مخلوط کننده ها می توانند معادل یک ترانزیستور کلید باشند. این ترانزیستورها به وسیله ساعت هایی بدون همپوشانی با همدیگر و با فازهای متفاوت، یعنی $V_{LO,0}$ ، $V_{LO,1}$ ، ... ، $V_{LO,N-1}$ راه اندازی شده اند. با توجه به تابع ساعت اعمالی، در هر لحظه تنها یک مسیر از ورودی سیستم به خروجی آن وجود دارد و در همه حالتها ترانزیستورهای کلید تنها در دو وضعیت خاموش مطلق یا تریود عمیق (مقاومتی) عمل خواهند کرد.



شکل ۱. معماری فیلترهای N مسیره سنتی [۱۷].

توجه شود که در این ساختار هیچ گونه جریان DC از ترانزیستورهای کلید عبور نمی کند. اگرچه تابع تبدیل هر کدام از مسیره ها به تنهایی به مثابه یک سیستم LTI است، اما ساختار کلی نشان داده شده، یک سیستم متغیر با زمان متناوب خطی یا LPTV است. $h(t)$ نشان داده شده در شکل (۱) می تواند پاسخ

سازمان های ارتش جهانی، استفاده از طیف فرکانس های رادیویی را به عنوان یکی از شروط اولیه موفقیت در عملکرد نظامی برمی شمارند. طیف فرکانسی مورد استفاده در کاربری های نظامی می تواند از کمترین فرکانس ها (۱۴ کیلوهرتز) تا بیشترین آن (۱۰۰ گیگاهرتز) را شامل شود [۱]. گیرنده های امروزی در سه مورد مهم ضعف دارند که عبارتند از: توان مصرفی زیاد، عدم پوشش طیف فرکانسی وسیع، عدم قابلیت تنظیم پذیری سریع در فرکانس های مختلف با کاربردهای مختلف. بخش جلویی گیرنده توان مصرفی چشمگیری به مدار تحمیل می کند و باید آن را با استفاده از شیوه های کاهش توان، بهبود داد. در حالت عادی برای پوشش استانداردهای مخابراتی گوناگونی مانند GSM، GPS، IEEE802.11a/b/g و غیره، اجبار به استفاده از چند آنتن و چند گیرنده وجود دارد که به معنای افزایش حجم افزاره، توان مصرفی به شدت بالا است [۲].

طراحی یک بخش جلویی با قابلیت پوشش هم زمان چندین استاندارد مخابراتی مختلف می تواند نیاز ما را به چند دستگاه مختلف حجیم برآورده سازد. همچنین کاهش توان مصرفی می تواند طول عمر باتری را افزایش دهد و به همین سبب قابلیت استفاده از آن به صورت همراه در مناطق با شرایط سخت نظامی را میسر می نماید. روش نوین فیلترهای چندمسیره موسوم به فیلترهای N -path امکان انتخاب کانال داده مطلوب را حتی در ورودی آنتن فراهم می سازد. در این شیوه می توان پهنای باند دریافتی را به صورت دلخواه تنظیم نمود و می توان با تغییر فرکانس کلیدزنی، که بر کلیدها اعمال می شود، فرکانس مطلوب دریافتی را در یک طیف وسیع تنظیم نمود. استفاده از فیلترهای چندمسیره نیاز ما را به استفاده از فیلترهای مرسوم SAW از بین می برد و در عمل حجم تراشه را به شدت کاهش می دهد [۱].

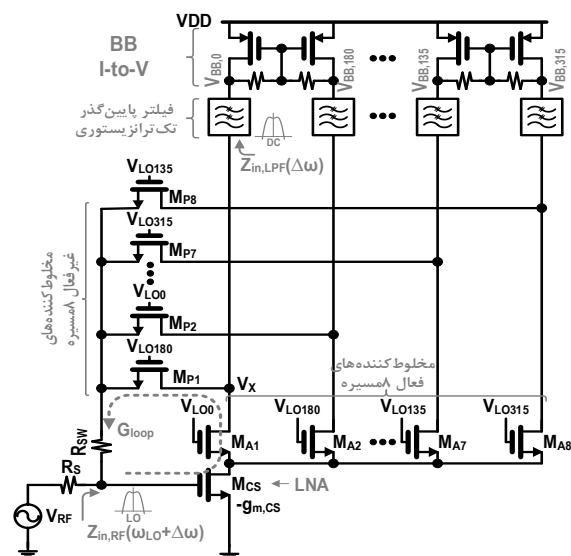
انتقال امپدانس از فرکانس های پایین باند پایه به فرکانس های بالای RF در ساختار فیلترهای میان گذر N مسیره، ویژگی پرکاربردی در سال های اخیر بوده است [۲-۱۵]. فیلترهای N مسیره مرسوم با استفاده از تعدادی ترانزیستور کلید و امپدانس خازنی پیاده سازی می شوند و در نهایت فیلتری میان گذر با ضریب کیفیت بالا می سازند. به دلیل عدم وجود عایق سازی بازگشتی در مخلوط کننده های غیرفعال، انتقال امپدانس از فرکانس های باند پایه به فرکانس های رادیویی در ورودی هم صورت خواهد پذیرفت [۳-۶]. اگر به این مدارها به عنوان یک فیلتر میان گذر بنگریم، فرکانس مرکزی آن توسط فرکانس کلید به دقت قابل تنظیم است و بنابراین برای استفاده در گیرنده های تنظیم پذیر پهن باند با قابلیت پوشش چند استاندارد مخابراتی مناسب خواهد بود [۳].

پاسخ فرکانسی فیلتر پایین‌گذر RC با ضریب کیفیت پایین به فرکانس کلیدزنی ($f_{LO}=500\text{MHz}$) و هارمونیک‌های آن انتقال فرکانسی یافته است. در ساختار مرسوم در تمام هارمونیک‌ها به جز هارمونیک‌هایی که ضرایب صحیحی از N هستند، گزینش‌پذیری هارمونیکی دیده می‌شود. در ساختار تفاضلی گزینش‌پذیری هارمونیکی فیلتر N-مسیره تنها در هارمونیک‌های فرد (هارمونیک‌ها با ضرایب صحیح فرد) رخ خواهد داد.

با دقت در نتایج شبیه‌سازی مشاهده می‌شود که با افزایش N، تلفات فیلتر در فرکانس گزینش کاهش می‌یابد و بنابراین عدد نویز را تا حدودی بهبود می‌دهد. همچنین افزایش N، اولین تاشوندگی از هارمونیک‌های ساعت را به فرکانس‌های بالاتری منتقل می‌کند [۳ و ۵].

۳. تحلیل و بررسی ساختار مداری قبلاً گزارش شده

ساختار مداری بخش جلویی گیرنده پهن‌بند که قبلاً گزارش شده [۷]، در شکل (۳) نشان داده شده است. در این شکل ترانزیستور M_{CS} نقش LNA را به عهده دارد. ترانزیستورهای M_{A1-8} یک مخلوط‌کننده فعال هشت مسیره را تشکیل می‌دهند که با یک ساعت با فرکانس کلیدزنی LO و در هشت فاز بدون همپوشانی راه‌اندازی شده‌اند و وظیفه انتقال فرکانسی سیگنال ورودی RF را دارد. یک فیلتر پایین‌گذر، که یک ترانزیستورهای ابعاد نسبتاً بزرگ است، بر روی هر کدام از ترانزیستورهای مخلوط‌کننده فعال قرار داده شده است که به عنوان یک فیلتر حالت‌جریانی در فرکانس پایین عمل می‌کند و سیگنال‌های نامطلوب با فرکانس بالاتر را تضعیف خواهد نمود.

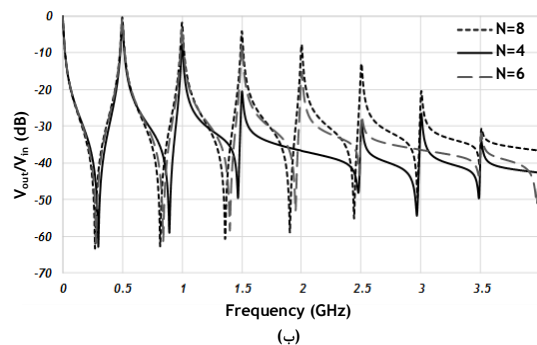
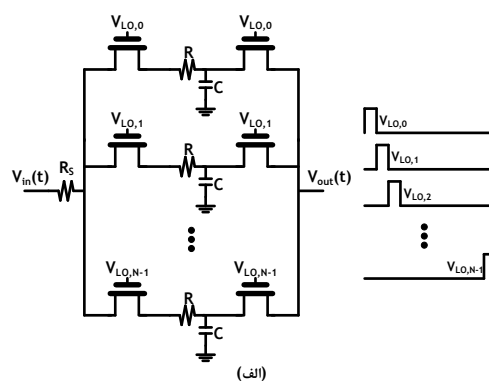


شکل ۳. بخش جلویی گیرنده پهن‌بند با قابلیت استفاده مجدد از جریان و پیاده‌سازی شده با مخلوط‌کننده‌های فعال و غیرفعال چندمسیره، قبلاً گزارش شده [۷].

ضربه هر فیلتری (بالاگذر، پایین‌گذر یا میان‌گذر) باشد که در حوزه فرکانس به فرم $H(f)$ نمایان می‌شود.

برای مثال می‌توان به سادگی یک فیلتر پایین‌گذر RC که دارای ضریب کیفیت پایین است، به جای بلوک میان $H(f)$ قرار داد. استفاده از چنین ساختاری منجر به انتقال فرکانسی پاسخ ضربه به $H(f)$ به فرکانس کلیدزنی (f_{LO}) و هارمونیک‌های آن می‌شود که به تفصیل مورد بررسی قرار گرفته است [۳ و ۵]. این بدان معنا است که اگر فیلتر پایین‌گذر با ضریب کیفیت پایین به جای بلوک میانی قرار گیرد، تابع تبدیل خروجی به ورودی به مثابه یک فیلتر میان‌گذر با ضریب کیفیت بالا خواهد بود که فرکانس مرکزی آن توسط فرکانس کلیدزنی قابل تنظیم است.

شکل (۲) الف- یک فیلتر N-مسیره کاملاً غیرفعال را نشان می‌دهد که تنها توسط خازن و کلید پیاده‌سازی شده است. همچنین ساعت متناظر اعمالی به ترانزیستورهای کلید در این شکل رسم شده‌اند. باید توجه داشت که به جهت همسانی همه مسیره‌ها، پهنای پالس همه فازهای ساعت اعمالی برابر T/N و در نتیجه چرخه کار برابر $1/N$ است.



شکل ۲. الف) نمونه فیلتر میان‌گذر N مسیره مرسوم پیاده‌سازی شده با عناصر غیرفعال، ب) تابع تبدیل خروجی به ورودی به ازای مقادیر متفاوت N (شبیه‌سازی با نرم‌افزار Cadence (pss+pac) $f_s=500\text{MHz}$, $R=500\Omega$, $R_S=50\Omega$, $C_{total}=40\text{pF}$

با استفاده از تحلیل (pss+pac) تابع تبدیل خروجی به ورودی در این فیلتر به ازای مقادیر متفاوت N به دست آمده و در شکل (۲) ب- ترسیم شده است. همان طور که از شکل پیداست

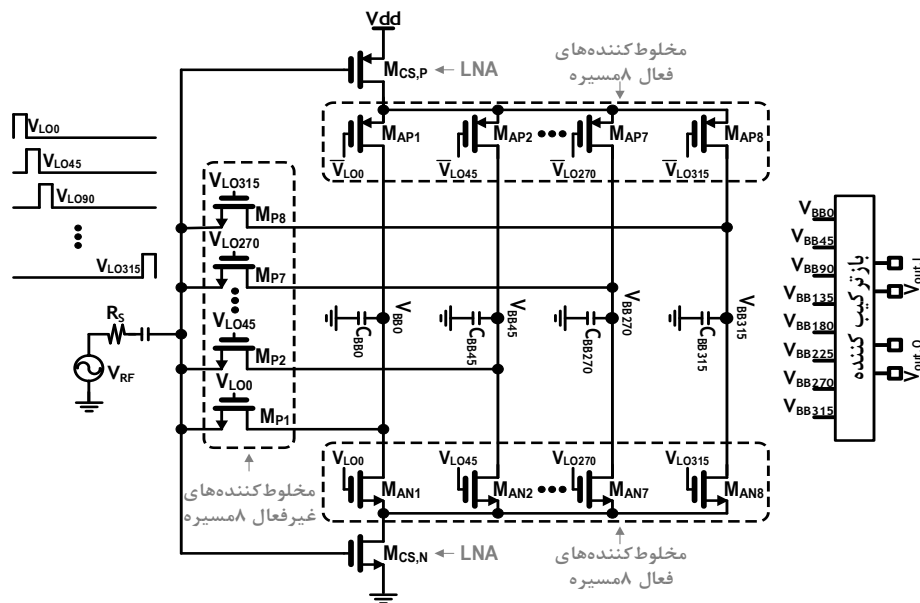
۴. بخش جلویی گیرنده پیشنهادی

ساختار قبلاً گزارش شده [۷] معایبی دارد که از جمله آن‌ها می‌توان به مشکل پایداری به دلیل وجود پس‌خور مثبت، عدد نویز بالا، گستره فرکانسی کاری اندک، استفاده از دو منبع تغذیه جداگانه و طراحی نسبتاً پیچیده به منظور دستیابی به تطبیق امپدانس (هم‌زمان با پایداری) اشاره نمود. به همین دلیل برای رفع و بهبود ساختار، ساختار ترسیم‌شده در شکل (۴) را پیشنهاد می‌کنیم که متشکل از بلوک‌های زیر است: دو ترانزیستور استفاده‌کننده مجدد از جریان در نقش تقویت‌کننده کم‌نویز، مخلوط‌کننده فعال ۸ مسیره، پس‌خور منفی پیاده‌سازی شده با مخلوط‌کننده غیرفعال ۸ مسیره و یک بازترکیب‌کننده انتهایی برای تولید سیگنال خروجی.

با حذف حلقه پس‌خور مثبت در ساختار پیشین، پایداری در این ساختار تضمین شده است و با تبدیل ترانزیستور M_{CS} به دو ترانزیستور استفاده‌کننده مجدد از جریان ($M_{CS,P}$ و $M_{CS,N}$) عدد نویز نسبتاً پایین تثبیت شده است. به دلیل عدد نویز نسبتاً پایین، گستره فرکانسی قابل پوشش تا حد زیادی بهبود داده شده است. در این طراحی تنها از یک منبع تغذیه V_1 استفاده شده است. همچنین تطبیق امپدانس در طبقه اول و تأمین ولتاژ بایاس ورودی توسط پس‌خور منفی به وجود آمده است. در ادامه عملکرد هر بلوک شرح داده خواهد شد. توجه باید داشت که در این ساختار ترانزیستورهای فعال M_{AN1-8} نوع N توسط ساعت معکوس نسبت به ساعت اعمالی به ترانزیستورهای فعال M_{AP1-8} نوع P راه‌اندازی شده‌اند.

ترانزیستورهای M_{P1-8} در نقش یک فیلتر غیرفعال ۸ مسیره عمل می‌کنند که از نظر ترتیب فازی نسبت به مخلوط‌کننده‌های M_{A1-8} با 180° درجه اختلاف فاز راه‌اندازی شده‌اند. همان‌طور که پیش‌تر نیز ذکر شد، به دلیل عدم وجود عایق بازگشتی در مخلوط‌کننده‌های غیرفعال یا ترانزیستورهای کلید، در ورودی انتظار داریم که امپدانس باند پایه به فرکانس بالا انتقال بیابد. در واقع اگر از سمت ورودی به مدار نگاه کنیم یک فیلتر میان‌گذر با فرکانس مرکزی f_{LO} و قدرت پس‌زنی قابل توجه را خواهیم داشت. همچنین مخلوط‌کننده غیرفعال ۸ مسیره به دلیل اختلاف فاز 180° درجه که نسبت به مخلوط‌کننده فعال دارد، یک حلقه پس‌خور مثبت را ایجاد خواهد کرد. به همین دلیل برای داشتن حاشیه پایداری مناسب، بهره حلقه را به صورت $G_{loop} = 0.55$ با شرط $Z_{in,RF} \geq 0$ در نظر گرفته‌اند. از طرف دیگر خاصیت دوطرفه بودن مخلوط‌کننده غیرفعال باعث انتقال امپدانس $Z_{in,LPF}$ با فرکانس باند پایه به $Z_{in,RF}$ با فرکانس RF می‌شود و تطبیق امپدانس را در فرکانس مطلوب ممکن می‌سازد. در نظر باید داشت که حلقه پس‌خور با کپی کردن ولتاژ DC گر V_x به V_{in} ، ولتاژ بایاس ورودی را تأمین می‌نماید.

در این حلقه با توجه به معیارهای مداری، نویز ناشی از R_{sw} در ترانزیستورهای کلید مخلوط‌کننده غیرفعال، با عبور از طبقه $-g_{mcs}$ با فاز مخالف در نقطه V_x جمع می‌شود و نویز مشترک ناشی از فیلتر پایین‌گذر LPF نیز با عبور از طبقه $-g_{mcs}$ با 180° درجه اختلاف فاز اضافه می‌شود تا به این شکل حذف نویزی رخ دهد و نویز کل به نویز حرارتی تقویت‌کننده کم‌نویز مدار یا ترانزیستور M_{CS} محدود شود.



شکل ۴. بخش جلویی گیرنده پهن باند پیشنهادی

همچنین $R_{eff,out}$ مقاومت دیده‌شده از خروجی برابر است با:

$$R_{eff,out} \approx \quad (3)$$

$$g_{m,AN,X} r_{o,AN,X} r_{o,CS,N} \parallel g_{m,AP,X} r_{o,AP,X} r_{o,CS,P}$$

در این حالت عدد نویز خروجی را می‌توان از رابطه زیر محاسبه نمود:

$$NF = 1 + \frac{V_{n,out,LNA}^2}{4kTR_S \left(\frac{1}{2} \frac{V_{out,LNA}}{V_{in,LNA}} \right)^2} \approx 1 + \frac{4\gamma}{R_S G_m} \quad (4)$$

بنابر رابطه (۴) یکی از راه‌های کاهش عدد نویز افزایش مجموع هدایت انتقالی ترانزیستورهای LNA است. این به معنای افزایش ابعاد ترانزیستورها و یا توان مصرفی بیشتر خواهد بود. از آن‌جا که افزایش ابعاد ترانزیستورها به معنای از دست رفتن پهنای باند است و همچنین از آن‌جا که توان مصرفی یکی از معیارهای مهم شایستگی مدار است، باید نقطه‌ای بهینه از جنبه‌های توان مصرفی، پهنای باند پوشش گیرنده و عدد نویز یافت. برای کاهش عدد نویز تا حد مطلوب و استفاده بهینه از توان مصرفی و دستیابی به پهنای باند قابل قبول، مقادیر نشان‌داده‌شده در شکل (۵) برای عناصر مدار در نظر گرفته شده است. همچنین در این ساختار طول کانال ترانزیستور $M_{CS,N}$ به میزان ۳ برابر حالت عادی و برابر ۳۰۰ نانومتر در نظر گرفته شده است تا نویز فاز در اندازه‌گیری عدد نویز کم‌تر اثر داشته باشد. توجه کنید در حالتی که هر یک از مخلوط‌کننده‌های فعال روشن باشد، جریانی برابر با جریان ترانزیستور نوع P را از خود عبور می‌دهد.

نکته مهم آن‌که در صورت عدم وجود فیلتری به عنوان بار LNA انتظار داریم که مسدودکننده‌های قوی به راحتی موجب اشباع LNA شده و نویز گیرنده به طور قابل توجه بالا برود.

بنابراین به منظور تضعیف مسدودکننده‌های قوی از یک فیلتر ۸‌مسیره فعال استفاده‌کننده مجدد از جریان در ساختار پیشنهادی استفاده شده است. در این فیلتر ۸‌مسیره، دسته اول مخلوط‌کننده‌های فعال M_{AN1-8} نوع N توسط ساعت‌های $V_{LO,0-315}$ و دسته دوم مخلوط‌کننده‌های فعال M_{AP1-8} نوع P توسط ساعت‌های $\bar{V}_{LO,0-315}$ راه‌اندازی شده‌اند. به عبارتی دسته دوم مخلوط‌کننده‌ها توسط ساعت‌های معکوس‌شده نسبت به دسته اول راه‌اندازی می‌شوند.

شکل (۶) پاسخ فرکانسی ترکیب تقویت‌کننده کم‌نویز با فیلتر ۸‌مسیره فعال را در فرکانس کلیدزنی دلخواه به نمایش گذاشته است. همان‌طور که در شکل نیز پیداست، هر چه به فرکانس LO نزدیک‌تر می‌شویم، تقویت سیگنال را داریم و هر چه از آن دور

۴-۱. ترکیب تقویت‌کننده کم‌نویز و فیلتر ۸‌مسیره فعال

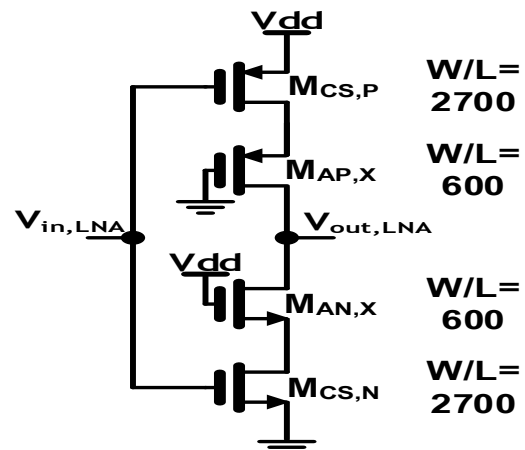
همان‌طور که از شکل (۴) پیداست، ترکیبی از تقویت‌کننده کم‌نویز (LNA) به همراه ترانزیستورهای مخلوط‌کننده فعال ۸‌مسیره در گیرنده پیشنهادی به کاررفته است. با توجه به آن‌چه پیش‌تر در خصوص فیلترهای چندمسیره عنوان شد، می‌توان دو وضعیت را برای بار خروجی متصور شد. در وضعیت اول اگر سیگنال ورودی نسبتاً دور از فرکانس کلیدزنی LO باشد، این سیگنال توسط مخلوط‌کننده‌های فعال M_{AN1-8} و M_{AP1-8} به فرکانسی دورتر از فرکانس DC انتقال فرکانسی داده خواهد شد که در آن فرکانس‌ها خازن‌های باند پایه تقریباً اتصال کوتاه هستند. بنابراین سیگنال‌هایی با فرکانس نسبتاً دور از فرکانس کلیدزنی در عمل تضعیف شدیدی را تجربه خواهند نمود. واضح است که در این وضعیت بهره LNA برابر صفر خواهد بود.

در وضعیت دوم اگر فرکانس سیگنال ورودی نزدیک به فرکانس کلیدزنی LO باشد، این سیگنال توسط مخلوط‌کننده‌های فعال به فرکانس باند پایه انتقال فرکانسی داده خواهد شد. از آن‌جا که در فرکانس باند پایه، خازن‌های باند پایه امپدانس بزرگی از خود نشان خواهند داد و همچنین از آن‌جا که به واسطه ساعت غیرهمپوشان در هر لحظه یکی از ترانزیستورهای M_{AN1-8} و یکی از ترانزیستورهای M_{AP1-8} در وضعیت روشن خواهد بود، در عمل ترکیب LNA و فیلتر ۸‌مسیره فعال در هر لحظه تبدیل به ساختار ترسیم‌شده در شکل (۵) خواهد شد. در این حالت برای بهره تقویت‌کننده کم‌نویز داریم:

$$A_{V,LNA} = \frac{V_{out,LNA}}{V_{in,LNA}} \approx -G_m R_{eff,out} \quad (1)$$

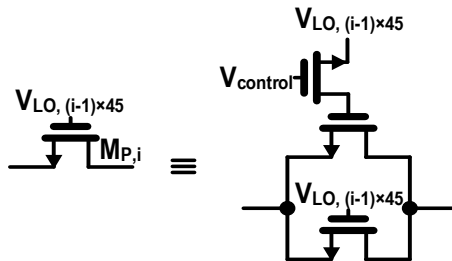
که در آن G_m هدایت انتقالی برآیند به دلیل ساختار استفاده‌کننده مجدد از جریان است و برابر است با:

$$G_m = g_{m,CS,N} + g_{m,CS,P} \quad (2)$$



شکل ۵. معادل لحظه‌ای ترکیب LNA و فیلتر ۸‌مسیره فعال در صورت اعمال سیگنال ورودی با فرکانس نسبتاً نزدیک به فرکانس LO.

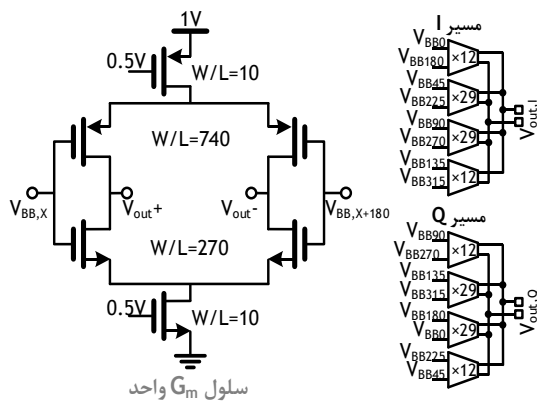
ترانزیستورها توسط ساعت راه اندازی می شود و در هنگام کار در گستره فرکانسی بالا هر دو ترانزیستور روشن خواهند بود تا ابعاد ۸ میکرومتر برای این مخلوط کننده ها تأمین شود. یک ولتاژ کنترلی این تغییر بین دو گستره فرکانسی را تعیین می نماید.



شکل ۷. معادل پیاده سازی شده مخلوط کننده غیرفعال، به منظور تفکیک دو باند بالا و پایین.

۴-۳. باز ترکیب کننده جهت تأمین ولتاژ I و Q خروجی

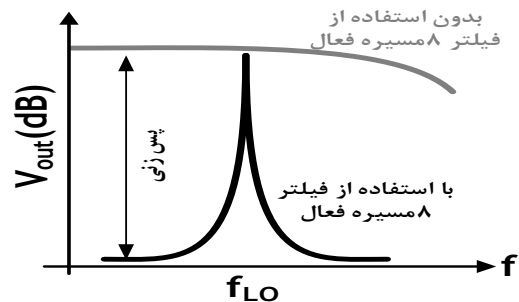
باز ترکیب کننده با قابلیت پس زنی هارمونیک که در شکل (۸) رسم شده است که سیگنال های خروجی با افاز (V_{BB,0-315}) را دریافت می کند و سیگنال I و Q خروجی را می سازد (۷,۴).



شکل ۸. باز ترکیب کننده انتهایی با قابلیت پس زنی هارمونیک و سلول G_m واحد جهت تولید ضرایب مورد نیاز.

در حالت ایده آل برای رسیدن به بیشترین پس زنی در هارمونیک های فرکانس کلیدزنی LO (به منظور رفع مشکل گزینش پذیری هارمونیک [۵,۳]) نسبت تقویت هشت فاز ولتاژ باند پایه باید در یکی از مسیرهای خروجی (به طور مثال مسیر I) برابر $1, \sqrt{2}+1, \sqrt{2}-1, 1, -1, -\sqrt{2}-1, -\sqrt{2}+1$ و -1 تبعیت کند و در مسیر دیگر (به طور مثال Q) باید ۹۰ درجه شیفت داشته باشیم [۴ و ۷]. این بدان معناست که باید حداقل دو ضریب $1 + \sqrt{2}$ و 1 را در پیاده سازی مداری تعبیه نماییم و مقادیر منفی را نیز می توان با در نظر گرفتن حالت تفاضلی در خروجی حاصل نمود. اما برای رفع مشکل عدم تطبیق ترانزیستوری در پیاده سازی مدار پس از ساخت، دو ضریب مورد نیاز را به صورت ۱۲ و ۲۹ در نظر می گیریم که منجر به خطای

می شود میزان پس زنی سیگنال بیشتر خواهد بود. میزان تیزی فیلتر حاصل به بزرگی خازن مصرفی باند پایه بستگی دارد. از این رو، به عنوان مثال برای دستیابی به پهنای باند ۱ مگاهرتز باید میزان خازن مصرفی در هر مسیر را برابر با ۲۵۰ پیکوفاراد در نظر گرفت که در نهایت خازن مجموع باند پایه برابر ۲ نانوفاراد خواهد بود. همچنین بنابر نتایج شبیه سازی ترکیب LNA و فیلتر ۸ مسیر فعال، میزان بهره ۲۳ دسی بل در فرکانس LO و میزان پس زنی حدوداً ۲۴ و ۳۹ دسی بل به ترتیب در فاصله ۲۰ و ۱۰۰ مگاهرتز از فرکانس LO را فراهم می آورد.



شکل ۶. پاسخ فرکانسی ترکیب تقویت کننده و فیلتر ۸ مسیر فعال.

۴-۲. مخلوط کننده های ۸ مسیر غیرفعال جهت تطبیق

امپدانس در ورودی

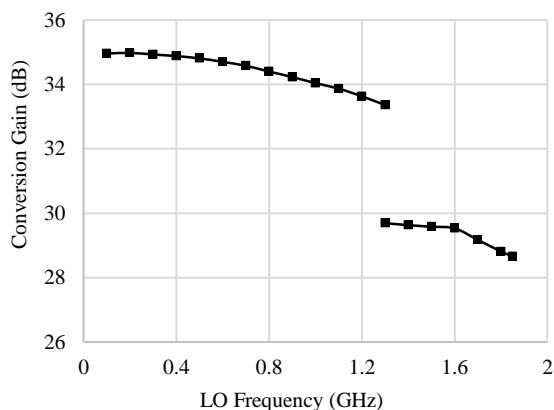
مخلوط کننده های ۸ مسیر غیرفعال یا MP₁₋₈ که منجر به ایجاد یک پس خور منفی بین ورودی و ولتاژهای باند پایه می گردند، به دو منظور در این طراحی به کار گرفته شده اند. دلیل اول تأمین ولتاژ بایاس DC در ورودی است و بدین وسیله از اعمال مدار خارجی جلوگیری خواهد شد. دلیل دوم تطبیق امپدانس در ورودی برای تأمین S₁₁ به میزان کمتر از -۱۰ دسی بل است. از آن جا که ساختار پیشنهادی می بایست گستره فرکانسی وسیعی را پوشش دهد، ابعاد ترانزیستورهای مخلوط کننده غیرفعال در دو حالت قرار داده شده است. بدین منظور در گستره فرکانسی پایین ۰/۱ تا ۱/۳ گیگاهرتز ابعاد ترانزیستورهای کلید برابر ۴ میکرومتر و در گستره فرکانسی بالا ۱/۳ تا ۱/۸۵ گیگاهرتز ابعاد این ترانزیستورها برابر ۸ میکرومتر در نظر گرفته شده اند. این مساله بدان دلیل است که بتوانیم در هر یک از این گستره های معیار S₁₁ کمتر از -۱۰ دسی بل را تأمین نموده باشیم.

یک ولتاژ کنترلی وظیفه تعیین ابعاد مورد نیاز ترانزیستورهای مخلوط کننده غیرفعال در گستره فرکانسی بالا و پایین را بر عهده دارد. همان طور که در شکل (۷) نشان داده شده است، در هر مسیر پس خور بین ورودی و ۸ گره باند پایه، دو ترانزیستور کاملاً موازی با یکدیگر با ابعاد ۴ میکرومتر وجود دارند، که گیت آن ها به ساعت های غیرهمپوشان V_{LO,0-315} متصل است. هنگام کار در گستره فرکانسی پایین تنها یکی از این

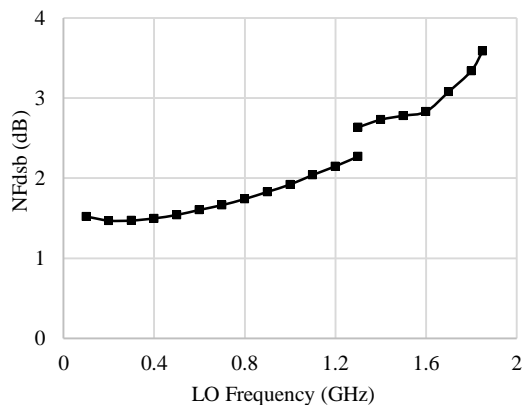
بسیار اندکی حدود ۰/۱ درصد خواهد شد.

دقت لحاظ می شود و بنابراین، انتظار می رود این عناصر حتی بعد از ساخت نیز تغییر عمده ای نداشته باشند و در نهایت در نتایج نیز تاثیر عمده ای نداشته باشند.

با استفاده از منبع تغذیه V_1 مقدار توان مصرفی $14/985$ میلی وات حاصل شده است. این توان مصرفی با احتساب توان مصرفی طبقه باز ترکیب کننده است. با برنامه ریزی خازن های موجود در فیلتر شکافی می توان پهنای باند بخش جلویی گیرنده را تغییر داد و به همین دلیل قابل استفاده در استانداردهای مخابراتی مختلف است. شکل (۱۰) بهره انتقالی از RF به فرکانس باند پایه را در گیرنده و شکل (۱۱) نویز بخش جلویی گیرنده را با توجه به فرکانس LO نشان می دهد. همان طور که در شکل نیز مشخص است، نویز گیرنده در تمام طول گستره فرکانسی ۰/۱ تا $1/85$ گیگاهرتز کمتر از $3/6$ دسی بل است. شکل (۱۲) نمودار S_{11} را در بخش جلویی گیرنده نشان می دهد و همان طور که از نمودار مشخص است در تمام طول بازه فرکانسی این معیار کمتر از -10 دسی بل است. توجه باید داشت که دو گستره فرکانسی بالا و پایین در فرکانس $1/3$ گیگاهرتز مرز مشترک دارند. جدول (۱) کارایی ساختار پیشنهادی را با کارهای ارائه شده در مقالات دیگر مقایسه می کند.

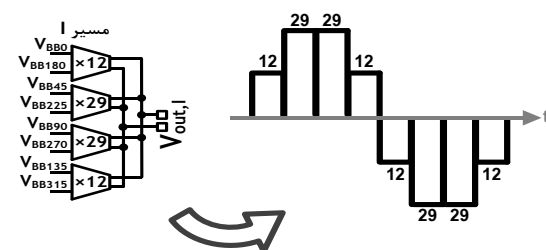


شکل ۱۰. بهره انتقالی RF به باند پایه بر حسب فرکانس LO.



شکل ۱۱. عدد نویز در گیرنده پیشنهادی بر حسب فرکانس LO.

برای تضعیف هارمونیک های سیگنال مطلوب در خروجی باز ترکیب کننده، از ضرایب وزن دهی استفاده می شود تا سیگنال باند پایه تا حد امکان به یک سیگنال سینوسی شبیه باشد [۷، ۵-۳]. در ساختار ۸ مسیره، برای ساختن شبیه ترین سیگنال به سیگنال سینوسی کامل از ضرایب $1 + \sqrt{2}$ و ۱ استفاده کرده اند [۷ و ۴]. به جهت دستیابی به حداکثر تطبیق ترانزیستوری در فرآیند ساخت نمی توان از این ضرایب استفاده کرد، زیرا در صورت تغییر ابعاد در فرآیند ساخت، میزان پس زنی به شدت تحت تاثیر قرار خواهد گرفت. بنابراین، از ضرایب صحیح استفاده می شود تا با تکرار واحد سلولی GM بهترین تطبیق ترانزیستوری را بدست آورد. اگر این دو عدد را در ۱۲ ضرب کنیم برابر ۱۲ و ۲۸/۹۷ خواهد شد که به دو عدد صحیح ۱۲ و ۲۹ بسیار نزدیک است. شکل حاصل از به کارگیری این ضرایب به شکل (۹) خواهد بود.



شکل ۹. سیگنال شبه سینوسی با ضرایب ۱۲ و ۲۹ در باز ترکیب کننده.

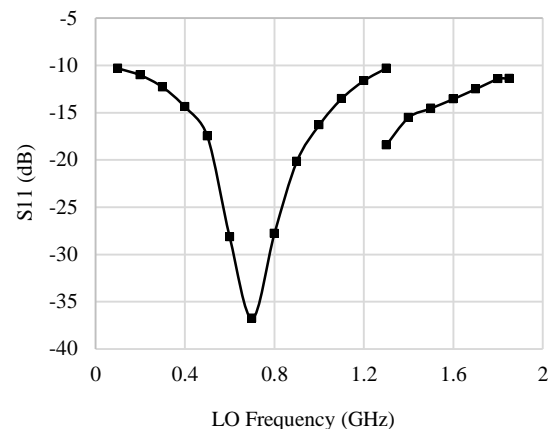
۵. نتایج شبیه سازی

بخش جلویی گیرنده در فناوری CMOS-90nm در سطح شماتیک با ترانزیستورهای TSMC شبیه سازی شده اند. ساعت کلیدزنی مورد استفاده به صورت ایده آل در نظر گرفته شده است و با استفاده از یک طبقه ترکیب کننده خروجی I و Q حاصل شده است. اغلب ساختارهای ارائه شده با استفاده از روش سیستم های کلیدزنی N مسیره، گستره فرکانسی بسیار بزرگی را می توانند داشته باشد اما به دلیل عدم دسترسی به ساعت کلیدزنی در فرکانس های بالا محدود می شوند [۴ و ۵]. ترکیب کننده تأثیر اندکی در خطسانی و نویز گیرنده دارد.

در نظر باید داشت که در تمام ترانزیستورهای به کاررفته، چه در بخش فعال و چه در بخش غیرفعال، در تمام پیوندهای افزاره (گیت-سورس، گیت-درین، گیت-بستر، درین-سورس و ...) تمام عناصر انگلی پارازیتی لحاظ شده است و از مدل های واقعی قابل ساخت در طراحی استفاده شده است. مقادیر عناصر انگلی پارازیتی بسته به ابعاد ترانزیستور توسط خود نرم افزار شبیه ساز با

۷. مرجع ها

- [1] NATO Joint Civil/Military Frequency Agreement, NATO Unclassified PO/82/9; <https://en.wikipedia.org/wiki/NJFA>, Juni 1982.
- [2] Ghaffari, A. "Switched-RC Radio Frequency N-Path Filters"; Ph.D. Thesis, University of Twente, Enschede, Netherlands, 2013.
- [3] Mirzaei, A.; Darabi, H.; Murphy, D. "Architectural Evolution of Integrated M-phase High-Q Bandpass Filters"; IEEE Trans. Circuits Syst. 2012, 59, 52–65.
- [4] Park, J. W.; Razavi, B. "A 20 mW GSM/WCDMA Receiver with RF Channel Selection"; IEEE Int. Solid-State Circuits Conf. (ISSCC) 2014, 356–357.
- [5] Ghaffari, A.; Klumperink, E.; Soer, M.; Nauta, B. "Tunable High-Q N-path Bandpass Filters: Modeling and Verification"; IEEE J. Solid-State Circuits 2011, 46, 998–1010.
- [6] Andrews, C.; Molnar, A. C. "A Passive Mixer-First Receiver with Digitally Controlled and Widely Tunable RF Interface"; IEEE J. Solid-State Circuits 2010, 45, 2696–2708.
- [7] Lin, F.; Mak, P. I.; Martins, R. "An RF-to-BB Current-Reuse Wideband Receiver with Parallel N-Path Active/Passive Mixers and a Single-MOS Pole-Zero LPF"; IEEE Int. Solid-State Circuits Conf. 2014, 2547-2559.
- [8] Mirzaei, A.; Darabi, H. "Analysis of Imperfections on Performance of 4-Phase Passive-Mixer-Based High-Q Bandpass Filters in SAW-less Receivers"; IEEE Trans. Circuits Syst. 2011, 58, 879-892.
- [9] Murphy, D.; Darabi, H.; Xu, H. "A Noise-Cancelling Receiver with Enhanced Resilience to Harmonic Blockers"; IEEE Int. Solid-State Circuits Conf. 2014, 68-69.
- [10] Murphy, D.; Hafez, A.; Mirzaei, A.; Mikhemar, M.; Darabi, H.; Chang, M. C.; Abidi, A. "A Blocker-Tolerant Wideband Noise-Cancelling Receiver with a 2 dB Noise Figure"; IEEE Int. Solid-State Circuits Conf. 2012, 74-75.
- [11] Youssef, S.; Zee, R.; Nauta, B. "Active Feedback Technique for RF Channel Selection in Front-end Receivers"; IEEE J. Solid-State Circuits 2012, 47, 3130-3144.
- [12] Darvishi, M.; Zee, R.; Nauta, B. "A 0.1-to-1.2 GHz Tunable 6th-order N-path Channel-Select Filter with 0.6 db Pass-band Ripple and 7 dbm Blocker Tolerance"; IEEE Int. Solid-State Circuits Conf. 2013, 172-173.
- [13] Tanaka, R.; Deguchi, T.; Nakano, N. "Prototype and Measurement of Automatic Synchronous PLL system for N-path filter for hum noise reduction"; IEEE Int. Symposium on Electronics and Smart Devices (ISESD), Oct. 2017.
- [14] Yang, X.; Jianxun, Z.; Kinget, P. R. "A Blocker-Tolerant RF Front-End with Harmonic-Rejecting N-path Filter"; IEEE J. Solid-State Circuits 2017, 99, 1-13.
- [15] Pavan, S.; Klumperink, E. "Analysis of the Effect of Source Capacitance and Inductance on N-path Mixers and Filters"; IEEE Trans. Circuits Syst. I: Reg. Papers 2017, 99, 1-12.
- [16] Smith, B. "Analysis of Commutated Networks"; IRE Trans. 1953, 21-26.
- [17] Franks, L. E.; Sandberg, I. W. "An Alternative Approach to the Realization of Network Transfer Functions: The N-Path Filters"; Bell. Sys. Tech. J. 1960, 39, 1321-1350.

شکل ۱۲. معیار تطبیق امپدانس S_{11} بر حسب فرکانس LO.

جدول ۱. مقایسه کارایی ساختار پیشنهادی با کارهای پیشین.

ISSCC'14[4]	ISSCC'14[7]	مدار پیشنهادی*	نوع ورودی
تک سر	تک سر	تک سر	N
8	8	8	گستره فرکانسی (GHz)
0.05-2.5	0.15-0.85	0.1-1.85	توان (mW)
20 @2GHz	10.6-16.2	14.985 [†]	NF (dB)
2.9	4.6±0.9	<3.6	S_{11} (dB)
<-10	<-10	<-10	OB-IIP ₃ (dBm)
+10	+17.4	+8	پهنای باند (MHz)
0.35-20	9	0.2-2	تغذیه (V)
1.2	1.2/2.5	1	فناوری CMOS
65nm	65nm	90nm	

* در سطح شماتیک [†] بدون احتساب توان مصرفی مولد ساعت

۶. نتیجه گیری

در راستای رفع نیاز مبرم به گیرنده‌های تنظیم‌پذیر در فرکانس‌های مختلف با استانداردهای مختلف مخابراتی در پدافند نوین، در این مقاله بخش جلویی یک گیرنده پهن باند با استفاده از مخلوط‌کننده‌های فعال و غیرفعال ۸ مسیره ارائه شده است. مشکلات ساختار مشابه قبلی از جمله پایداری، نویز زیاد و طراحی پیچیده برای دستیابی به تطبیق امپدانس مورد بررسی و رفع شده‌اند. NF و S_{11} در بخش جلویی گیرنده پیشنهادی در تمام گستره فرکانسی به ترتیب کمتر از ۳/۶ دسی‌بل و ۱۰- دسی‌بل است. ساختار پیشنهادی به IIP_3 خارج باندهای به میزان ۸ دسی‌بل میلی‌وات دست یافته است و پایداری ساختار تضمین شده است. توان مصرفی بدون احتساب توان مولد ساعت ایده‌آل کمتر از ۱۵ میلی‌وات است.